### **=** ФИЗИКА =

УДК 537.622

# ВЛИЯНИЕ ЛОКАЛЬНОЙ АНИЗОТРОПИИ РЕДКОЗЕМЕЛЬНОГО ИОНА НА МАКРОСКОПИЧЕСКИЕ МАГНИТНЫЕ СВОЙСТВА ЛАНГАСИТА

 $(La_{0.985}Ho_{0.015})_3Ga_5SiO_{14}$ 

© 2024 г. А. Ю. Тихановский<sup>1,\*</sup>, В. Ю. Иванов<sup>1</sup>, А. М. Кузьменко<sup>1</sup>, А. А. Мухин<sup>1</sup>

Представлено академиком РАН И.А. Щербаковым 19.04.2023 г. Поступило 19.04.2023 г. После доработки 19.04.2023 г. Принято к публикации 14.11.2023 г.

Выполнено экспериментальное и теоретическое исследование магнитных свойств уникального изинговского парамагнетика ( $\text{La}_{0.985}\text{Ho}_{0.015}$ ) $_3\text{Ga}_5\text{SiO}_{14}$ . Обнаружена анизотропия намагниченности при вращении сильного магнитного поля (до 5 Тл) в плоскостях  $ab^*$ ,  $b^*c$  и ac при низкой температуре ( $T \leq 5K$ ). Показано, что наблюдаемые особенности намагниченности связаны с локальной ориентацией и распределением изинговских осей редкоземельного иона  $\text{Ho}^{3+}$ , отклонение которых от разрешенных симметрией направлений может возникать в результате случайного заполнения Ga/Si в локальном окружении магнитных ионов.

*Ключевые слова*: редкоземельные лангаситы, изинговский парамагнетик, анизотропия намагниченности, магнитные свойства

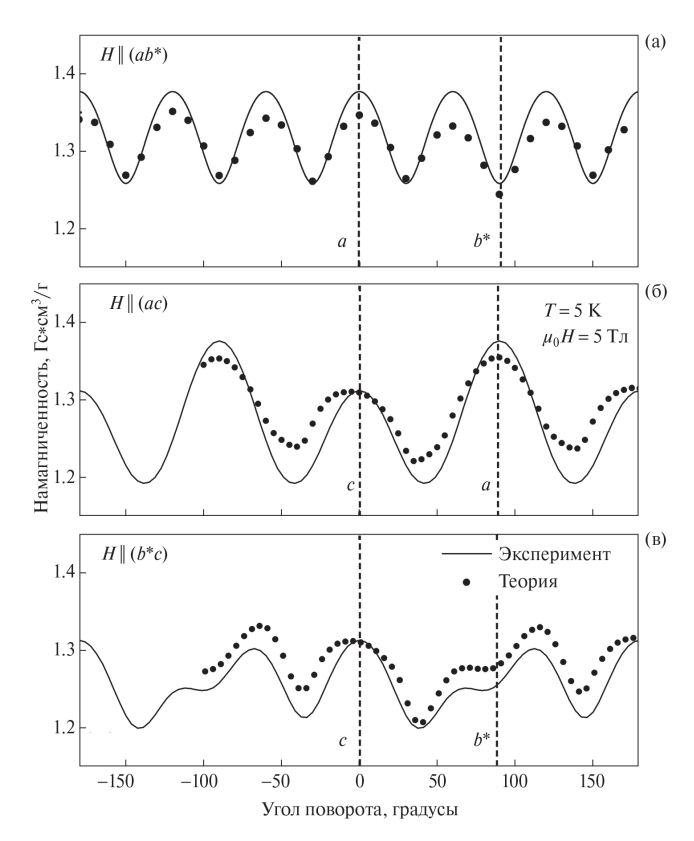
**DOI:** 10.31857/S2686740024010056, **EDN:** OSYAGV

Соединения со структурой лангасита ( $La_3Ga_5SiO_{14}$ ) [1, 2] вызывают значительный интерес благодаря сильным пьезоэлектрическим эффектам и нелинейным оптическим свойствам [3-5]. Они имеют нецентросимметричную пространственную группу Р321, а при наличии в решетке магнитных ионов обладают нетривиальной магнитной структурой и могут проявлять магнитоэлектрические свойства. Например, железосодержащие лангаситы (типа Ba<sub>3</sub>NbFe<sub>3</sub>Si<sub>2</sub>O<sub>14</sub>) упорядочиваются антиферромагнитно при  $T_N \sim 27 \, \text{K}$  в треугольную спиральную магнитную структуру, с двойной магнитной киральностью [6, 7] и проявляют магнитоэлектрические свойства во внешнем магнитном поле [8-10]. Однако наличие сложной магнитной структуры затрудняет исследование микроскопических механизмов возникновения магнитоэлектрического эффекта, особенно во внешнем магнитном поле.

Институт общей физики им. А.М. Прохорова Российской академии наук, Москва, Россия\*E-mail: tikhanovskii@phystech.edu

С этой точки зрения интерес представляют редкоземельные лангаситы  $R_3Ga_5SiO_{14}$  (R=La, Pr, Nd, Tb, Dy, Ho, ...), например, хорошо исследованные концентрированные соединения  $Nd_3Ga_5SiO_{14}$  и  $Pr_3Ga_5SiO_{14}$  [11—16], которые остаются парамагнитными вплоть до самых низких температур (30 мК). Однако соединения с тяжелыми редкоземельными ионами с бо́льшими магнитными моментами (Tb, Dy, Ho, ...), в которых ожидаются более сильные проявления микроскопических механизмов магнитных свойств, устойчивы только при их низких концентрациях в твердых растворах с лантаном.

Впервые магнитные и магнитоэлектрические свойства в легированном соединении на основе лантана  $(La_{0.985}Ho_{0.015})_3Ga_5SiO_{14}$  с тяжелым редкоземельным ионом  $Ho^{3+}$  были исследованы в работе [17]. Авторами показано, что магнитные и магнитоэлектрические свойства соединения определяются поведением в магнитном поле некрамерсовского квазидублета  $Ho^{3+}$ , хорошо отделенного от остального мультиплета, именно с последним связано изинговское поведение иона. Как и концентрированные



**Рис. 1.** Угловые зависимости намагниченности  $(La_{0.985}Ho_{0.015})_3Ga_5SiO_{14}$  при температуре 5 К и вращении поля величиной 5 Тл в плоскостях  $ab^*$  (a), ac (б) и  $b^*c$  (в). Точки — эксперимент, сплошная линия — теория.

составы, соединение остается в парамагнитном состоянии вплоть до низких температур. Однако предложенная в [17] модель основного состояния редкоземельного иона и направлений изинговских осей не описывает некоторые особенности намагниченности.

Для выяснения поведения ионов  $\mathrm{Ho^{3^+}}$  в магнитном поле и уточнения ориентаций изинговских осей мы выполнили комплексное экспериментальное и теоретическое исследование магнитных свойств  $(\mathrm{La_{0.985}Ho_{0.015}})_3\mathrm{Ga_5SiO_{14}}$ . Исследование полевых зависимостей намагниченности соединения проведено при ориентации магнитного поля вдоль основных кристаллографических направлений при низких температурах, а исследование анизотропии намагниченности при вращении магнитного поля величиной 5 Тл в плоскостях  $ab^*$ , ac и  $b^*c$  при температуре 5 К. Используя полученные экспериментальные данные, мы уточнили предложенную в [17] модель, определили ориентации

изинговских осей, выявили особенности их распределения и роль локальных искажений в макроскопических свойствах кристалла.

### МЕТОДИКА ЭКСПЕРИМЕНТА

Кристалл ( $La_{0.985}Ho_{0.015}$ ) $_3Ga_5SiO_{14}$  был выращен Б.В. Миллем методом Чохральского. Качество кристаллов определялось посредством рентгенофазового анализа и на растровом электронном микроскопе в режиме z-контраста. Наличия посторонних фаз, помимо лангаситной, обнаружено не было. Ориентация монокристаллов определялась методом Laue. Магнитные свойства соединения исследовались на установке MPMS-50 (Quantum Design) в полях до 5 Тл и при низких температурах  $1.9-5~\mathrm{K}$ .

### ЭКСПЕРИМЕНТ

Нами выполнено подробное исследование магнитных свойств  $(La_{0.985}Ho_{0.015})_3Ga_5SiO_{14}$ . Проведены измерения ориентационных зависимостей намагниченности при вращении магнитного поля в плоскостях  $ab^*$ ,  $b^*c$  и ac. Выполнены измерения полевых зависимостей намагниченности вдоль основных кристаллографических направлений при различных температурах.

Среди проведенных магнитных измерений наибольший интерес представляют ориентационные зависимости намагниченности. При низких температурах и сильных магнитных полях (при которых магнитные моменты являются насыщенными) в угловых зависимостях намагниченности проявляется заметная анизотропия во всех трех плоскостях:  $ab^*$ ,  $b^*c$ , ac (рис. 1), которая связана с особенностями ориентаций изинговских осей  $Ho^{3+}$  (см. раздел 3).

В области насыщения (при  $\mu_0 H = 5$  Тл и  $T \lesssim 5$  К) в  $ab^*$  плоскости наблюдается 60-градусная анизотропия с максимумом вдоль оси a и минимумом вдоль оси  $b^*$  (направление, ортогональное оси второго порядка a) (рис. 1а). В плоскости ac между двумя неэквивалентными по величине максимумами (при H||a и H||c) возникает асимметричный минимум (рис. 1б). Наиболее ярко особенности анизотропии намагниченности проявляются в  $b^*c$  плоскости. Угловая зависимость оказалась асимметричной

относительно оси c, вдоль которой наблюдается один из максимумов (рис. 1в). При вращении магнитного поля по и против часовой стрелки относительно оси c минимумы имеют разную глубину, а следующие за ними максимумы — разную величину. Ось  $b^*$  расположена вблизи одного из локальных минимумов, но не совпадает с ним. При этом относительно оси  $b^*$  существует асимметрия, которая, как и все вышеперечисленные особенности, возникает из-за необычной ориентации изинговских осей (рис. 2). Важно отметить, что несмотря на сложный характер анизотропии, она соответствует кристаллографической симметрии P321.

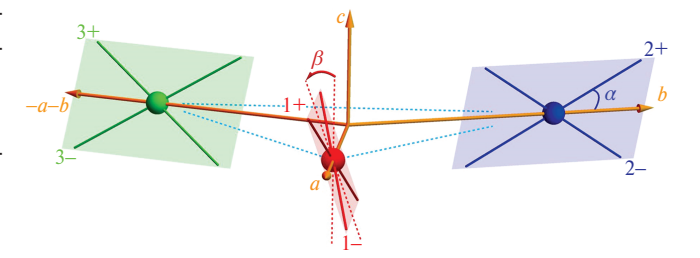
Поведение кривых намагничивания при низких температурах сильно зависит от ориентации магнитного поля. Когда поле направлено вдоль осей a,  $b^*$  и c, насыщение, при низких температурах, происходит в полях  $\sim 1$  Тл, при этом сохраняется небольшая восприимчивость (рис. 3), связанная с ван-флековским вкладом. В случае ориентации поля вдоль минимума на угловых зависимостях (рис. 36,  $-H\|c39^{\circ}b^*$ ), насыщение намагниченности также происходит в полях  $\sim 1$  Тл, но в области насыщения наблюдается больший угол наклона, связанный с отклонением от изинговского поведения иона  $Ho^{3+}$ .

#### ТЕОРИЯ

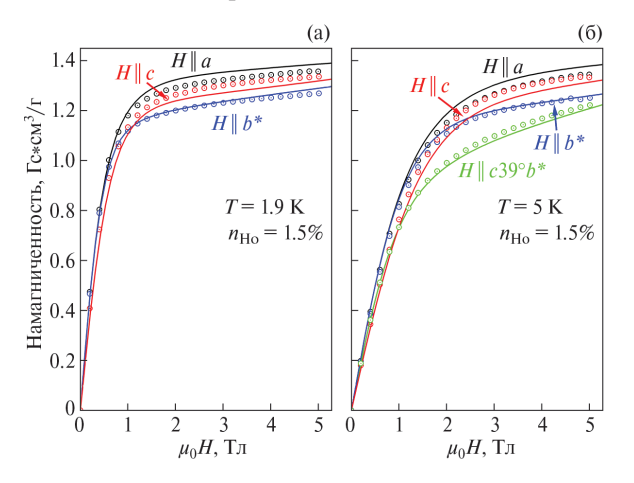
#### Модель магнитной структуры

В лангасите ( $La_{0.985}Ho_{0.015}$ ) $_3Ga_5SiO_{14}$  магнитные ионы  $Ho^{3+}$  занимают три низкосимметричные позиции симметрии  $C_2$  с локальной осью, совпадающей с одной из трех кристаллографических осей 2-го порядка (a, b, -a-b) и остаются в парамагнитном состоянии вплоть до низких температур. Особенности кристаллической структуры, а именно случайное распределение Ga/Si в позициях 2d, приводят к локальному нарушению симметрии  $C_2$  и искажению кристаллического поля. В результате магнитные ионы оказываются в несимметричных позициях, что и обусловливает их особое поведение в магнитном поле.

Кристаллическое поле расщепляет основной мультиплет  ${}^5I_8$ , на 2J+1=17 синглетов. Магнитные свойства иона  ${\rm Ho^{3+}}$  в лангасите в основном определяются двумя нижними близко расположенными энергетическими уровнями



**Рис. 2.** Схематическое изображение изинговских осей ионов  $\mathrm{Ho^{3+}}$  в  $(\mathrm{La_{0.985}Ho_{0.015}})_3\mathrm{Ga_5SiO_{14}}$ :  $\alpha$  — отклонение изинговской оси от плоскости ab (для удобства изображено в позиции 2),  $\beta$  — отклонение проекции изинговской оси на плоскость  $b^*c$  от оси c. Заданный таким образом набор изинговских осей, связанных операциями симметрии  $C_2$  и  $C_3$ , восстанавливает симметрию P321.



**Рис. 3.** Полевые зависимости намагниченности ( $\text{La}_{0.985}\text{Ho}_{0.015}$ ) $_3\text{Ga}_5\text{SiO}_{14}$  при температурах 1.9 K (а), 5 K (б) и ориентациях магнитного поля  $H\parallel a,b^*,c$  и  $c39^ob^*$  — соответствующего минимуму на угловой зависимости, при вращении магнитного поля в плоскости  $b^*c$ . Открытые символы — эксперимент, сплошная линия — теория.

(квазидублет с расшеплением  $2\Delta_{cf} \approx 3$  K), хорошо отделенными от возбужденных состояний мультиплета, в результате поведение магнитных ионов оказывается сильно анизотропным, что позволяет их рассматривать как изинговские. Это подтверждается полевыми зависимостями намагниченности при низких температурах, которые в малых полях имеют большой наклон и быстро насыщаются в полях  $\sim 1$  Тл (рис. 3).

В силу отсутствия симметрии локального окружения магнитного иона  $\text{Ho}^{3+}$  мы предполагаем, что в позиции 1 изинговская ось  $\mathbf{n}_1(\alpha,\beta) = (\cos\alpha, -\sin\alpha\,\sin\beta, \,\sin\alpha\,\cos\beta)$  произвольно

ориентирована в пространстве, где  $\alpha$  — отклонение от оси a в плоскости ac,  $\beta$  — отклонение проекции изинговской оси на плоскость b\*c от оси c (рис. 2).

Анализ угловых зависимостей показывает, что в действительности существует некоторое распределение изинговских осей по углам. При его отсутствии анизотропия угловых зависимостей оказалась бы значительно больше, а в минимумах наблюдался бы резкий перегиб. Распределение может возникать в результате реализации различных конфигураций Ga/Si в окружении редкоземельного иона. Мы предполагаем, что вероятные направления изинговских осей задаются двумерным распределением Гаусса:

$$\rho \left(\alpha ,\beta \right) = exp \Biggl[ -\frac{\left(\alpha -\overline{\alpha }\right)^2}{2\sigma _{\alpha }^2} \Biggr] exp \Biggl[ -\frac{\left(\beta -\overline{\beta }\right)^2}{2\sigma _{\beta }^2} \Biggr] \Biggl/ 2\pi \sigma _{\alpha }\, \sigma _{\beta }\, , \label{eq:rho}$$

с наиболее вероятными значениями  $\bar{\alpha}$ ,  $\bar{\beta}$  и дисперсиями  $\sigma_{\alpha}$ ,  $\sigma_{\beta}$ , определяемыми из моделирования магнитных свойств соединения, однако важно отметить, что в действительности функция распределения может иметь иной вид.

Глобальная симметрия кристалла Р321 сохраняется при наличии локальных искажений позиций и отклонении изинговских осей, благодаря тому, что при случайном распределении Ga/Si найдутся позиции с ориентациями изинговских осей, которые связаны с некоторой произвольно ориентированной осью  $\mathbf{n}_1(\alpha,\beta)$  операциями симметрии  $C_2$  и  $C_3$ . Сохранение симметрии  $C_2$  определяет вид функции распределения направлений изинговских осей позиции I. Под действием  $C_2$  угол  $\beta$  переходит в  $\beta$ + $\pi$ , что эквивалентно изменению значения наиболее вероятного угла на  $\bar{\beta}$ - $\pi$ :

$$\begin{split} &\rho'(\alpha,\!\beta) = \\ &= \left. exp \! \left[ -\frac{(\alpha - \overline{\alpha})^2}{2\sigma_\alpha^2} \right] \! exp \! \left[ -\frac{\left(\beta - \left(\overline{\beta} - \pi\right)\right)^2}{2\sigma_\beta^2} \right] \! \middle/ \! 2\pi\sigma_\alpha \; \sigma_\beta. \end{split} \right. \end{split}$$

Тогда функция распределения осей в позиции  $I \rho_+ = \frac{1}{2}(\rho + \rho')$  является инвариантной относительно преобразования симметрии  $C_2$ . Позиции 2 и 3 связаны с I поворотом на  $120^\circ$  вокруг оси c, а произвольно ориентированные

изинговские оси  $\mathbf{n}_{2,3}(\alpha,\beta) = \hat{\mathbf{3}}_c^{\pm} \mathbf{n}_1(\alpha,\beta)$  задаются соответствующими матрицами поворота  $\hat{\mathbf{3}}_c^{\pm}$ , при этом функция распределения остается неизменной. Заданные таким образом функция распределения в позиции I и изинговские оси в позициях 2 и 3 восстанавливают симметрию P321, несмотря на ее локальные нарушения (рис. 2).

Построенная таким образом модель позволяет качественно объяснить особенности угловых зависимостей намагниченности в области насыщения магнитных моментов (H > 1 Tл,  $T \lesssim 5$  K). При ориентации магнитного поля ортогонально наиболее вероятным направлениям изинговских осей  $n_i(\bar{\alpha}, \bar{\beta})$  в угловых зависимостях возникают минимумы (рис. 1а-в). Например, вблизи  $H||b^*$ , при отклонении магнитного поля от оси c на угол  $\theta_H \approx 86^\circ$ , когда поле ортогонально направлениям  $\mathbf{n}_1(\bar{\alpha}, \bar{\beta})$  и  $\mathbf{n}_1(\bar{\alpha}, \bar{\beta}-\pi)$ , существует общий локальный минимум (рис. 1в). Из согласованного моделирования всех угловых зависимостей намагниченности мы определили наиболее вероятное направление изинговской оси:  $\bar{\alpha} \approx 32^{\circ}$  и  $\bar{\beta} \approx 4^{\circ}$ .

#### Намагниченность

Для описания магнитных свойств  $(La_{0.985}Ho_{0.015})_3Ga_5SiO_{14}$ , аналогично работе [17], использован спин-гамильтониан, учитывающий расщепление квазидублета в кристаллическом поле, зеемановскую энергию, ван-флековский вклад:

$$H_{eff}^{(i)} = \Delta_{cf} \sigma^{i}_{x} + m_{i} H \sigma^{i}_{y} - \frac{1}{2} H \hat{\chi}_{VV} H,$$

где  $\sigma^{i}_{x,y}$  — матрицы Паули, i — номер позиции, j=x,y,z,  $m_i=\mu_0 n_i$ , H — вектор магнитного поля,  $\chi_{VV}$  — матрица восприимчивости Ван Флека. Энергетические уровни основного некрамерсовского квазидублета иона  $\mathrm{Ho^{3+}}$  в i-й позиции, полученные диагонализацией гамильтониана, равны  $\pm \varepsilon_i$ , где

$$\varepsilon_i = \sqrt{\left(\boldsymbol{m}_i \boldsymbol{H}\right)^2 + \Delta_{\mathrm{cf}}^2}.$$

Минимизацией свободной энергии двухуровневой системы с энергетическими уровнями  $\pm \varepsilon_i$  по вектору магнитного поля  $\boldsymbol{H}$  получен суммарный вклад в намагниченность от трех позиций:

$$\begin{split} \boldsymbol{M} &= \int \int \frac{1}{3} n_{Ho} \sum_{i} \boldsymbol{m}_{i} \left( \alpha, \beta \right) \left( \boldsymbol{m}_{i} \left( \alpha, \beta \right) \boldsymbol{H} \right) \times \\ &\times \frac{\operatorname{th} \varepsilon_{i} \left( \alpha, \beta \right) / k_{b} T}{\varepsilon_{i} \left( \alpha, \beta \right)} \rho_{+} \left( \alpha, \beta \right) d\alpha d\beta + \hat{\chi}_{VV} \boldsymbol{H}, \end{split}$$

где  $n_{Ho}$  — концентрация ионов Ho<sup>3+</sup>, T — температура и  $k_b$  — постоянная Больцмана. от разрешенных локальной симметрией  $C_2$  направлений. Мы предполагаем, что искажение

В рамках сформулированной модели магнитной структуры мы выполнили моделирование угловых (рис. 1) и полевых зависимостей намагниченности (рис. 3). Из моделирования полевых зависимостей намагниченности определены концентрация ионов  $\operatorname{Ho}^{3+} n_{\operatorname{Ho}} = 1.45\%$  и их магнитный момент  $\mu_0 = 9.4 \mu_B$ .

При ориентации магнитного поля вдоль кристаллографических осей  $H \parallel a, b^*$  и c в области насыщения существует небольшой наклон кривых намагниченности, а при ориентации магнитного поля вдоль одного из минимумов угловых зависимостей  $H \parallel c39^{\circ}b$  (рис. 3) этот наклон существенно возрастает. Последнее связано с отклонением от изинговского поведения иона Но<sup>3+</sup> [18], возникающего в результате влияния верхних (возбужденных) уровней на основной квазидублет, которое в общем случае зависит от спектра и волновых функций иона, но в данной работе вклады были определены из моделирования кривых намагничивания и, для упрощения, опущены. Величины ванфлековской восприимчивости составили  $\chi_{VVa} = \chi_{VVb^*} =$ =  $2.74 \cdot 10^{-6} \text{ cm}^3/\Gamma$ ,  $\chi_{VVc} = 1.20 \cdot 10^{-6} \text{ cm}^3/\Gamma$ .

Учет распределения направлений изинговских осей приводит к размытию минимумов угловых зависимостей и, в совокупности с отклонением от изинговского поведения, позволяет количественно описать их при величинах дисперсий  $\sigma_a = 6.7^\circ$  и  $\sigma_\beta = 8^\circ$  (рис. 1).

### **ЗАКЛЮЧЕНИЕ**

В работе выполнено экспериментальное и теоретическое исследование магнитных свойств замещенного лангасита ( $La_{0.985}Ho_{0.015}$ ) $_3Ga_5SiO_{14}$ . Экспериментальное исследование намагниченности показало, что насыщение полевых зависимостей происходит в полях ~1 Тл, при этом их наклон в области насыщения сильно зависит от ориентации магнитного поля. Вращение магнитного поля в различных плоскостях позволило выявить анизотропию намагниченности. Теоретический анализ полученных экспериментальных данных показал, что основное состояние изинговского некрамерсовского иона  $Ho^{3+}$  сильно искажено, это проявляется в отклонении изинговских осей

от разрешенных локальной симметрией  $C_2$  направлений. Мы предполагаем, что искажение является следствием нарушения симметрии локального окружения, которое может возникать в результате равновероятного заполнения Ga/Si позиций 2d. Таким образом, мы установили связь магнитных свойств  $(La_{0.985}Ho_{0.015})_3Ga_5SiO_{14}$  с микроскопическими характеристиками редкоземельного иона  $Ho^{3+}$  и показали, что локальные нарушения симметрии могут приводить к специфическим макроскопическим особенностям.

#### БЛАГОДАРНОСТИ

Статья написана по материалам одноименного доклада на 5-й школе-конференции молодых ученых ИОФ РАН "Прохоровские недели", 2022 г. Доклад был рекомендован к публикации по результатам экспертных оценок как один из лучших.

#### ИСТОЧНИКИ ФИНАНСИРОВАНИЯ

Исследование выполнено при финансовой поддержке Российского научного фонда (проект 22-42-05004).

#### КОНФЛИКТ ИНТЕРЕСОВ

Авторы данной работы заявляют, что у них нет конфликта интересов.

### СПИСОК ЛИТЕРАТУРЫ

- 1. *Mill B.V., Pisarevsky Y.V.* Langasite-type materials: from discovery to present state // Proc. 2000 IEEE/EIA International Frequency Control Symposium and Exhibition (Cat. No.00CH37052). IEEE. 2000. P. 133–144.
  - https://doi.org/10.1109/FREQ.2000.887343
- 2. *Maksimov B.A. et al.* Absolute structure of La3Ga5SiO14 langasite crystals // Crystallogr. Reports. 2005. V. 50. № 5. P. 751–758. https://doi.org/10.1134/1.2049391
- 3. *Bohm J. et al.* Czochralski growth and characterization of piezoelectric single crystals with langasite structure: La3Ga5SiO14 (LGS), La3Ga5.5Nb0.5O14 (LGN), and La3Ga5.5Ta0.5O14 (LGT) // J. Cryst. Growth. 1999. V. 204. № 1–2. P. 128–136. https://doi.org/10.1016/S0022-0248(99)00186-4
- Sato J. et al. Czochralski growth of RE<sub>3</sub>Ga<sub>5</sub>SiO<sub>14</sub> (RE=La, Pr, Nd) single crystals for the analysis of the influence of rare earth substitution on piezoelectricity // J. Cryst. Growth. 1998. V. 191. № 4. P. 746–753. https://doi.org/10.1016/S0022-0248(98)00362-5

- 5. *Iwataki T. et al.* Mechanism of the piezoelectricity of langasite based on the crystal structures // J. Eur. Ceram. Soc. 2001. V. 21. № 10–11. P. 1409–1412. https://doi.org/10.1016/S0955-2219(01)00029-2
- 6. *Marty K. et al.* Magnetic and dielectric properties in the langasite-type compounds: A3 B Fe3 D2 O14 (A=Ba, Sr, Ca; B=Ta, Nb, Sb; D=Ge, Si) // Phys. Rev. B Condens. Matter Mater. Phys. 2010. V. 81. № 5. P. 1–11. https://doi.org/10.1103/PhysRevB.81.054416
- 7. *Marty K. et al.* Single Domain Magnetic Helicity and Triangular Chirality in Structurally Enantiopure Ba3NbFe3Si2O14 // Phys. Rev. Lett. 2008. V. 101. № 24. P. 247201. https://doi.org/10.1103/PhysRevLett.101.247201
- 8. Lee N., Choi Y.J., Cheong S.W. Magnetic control of ferroelectric polarization in a self-formed single magnetoelectric domain of multiferroic Ba3NbFe3Si 2 O14 // Appl. Phys. Lett. 2014. V. 104. № 7. P. 1–5. https://doi.org/10.1063/1.4866187
- 9. Narita H. et al. Observation of nonreciprocal directional dichroism via electromagnon resonance in a chiral-lattice helimagnet B a3NbF e3 S i2 O14 // Phys. Rev. B. 2016. V. 94. № 9. https://doi.org/10.1103/PhysRevB.94.094433
- 10. *Tikhanovskii A.Y. et al.* Magnetoelectric phenomena in Fe langasites // Phys. Rev. B. American Physical Society. 2022. V. 105. № 10. P. 104424. https://doi.org/10.1103/PhysRevB.105.104424
- 11. *Zhou H.D. et al.* Partial field-induced magnetic order in the Spin-liquid kagomé Nd3Ga5SiO14 // Phys. Rev. Lett. 2007. V. 99. № 23. P. 1–4.

- https://doi.org/10.1103/PhysRevLett.99.236401
- 12. Zorko A. et al. Easy-Axis Kagome Antiferromagnet: Local-Probe Study of Nd3Ga5SiO14 // Phys. Rev. Lett. 2008. V. 100. № 14. P. 147201. https://doi.org/10.1103/PhysRevLett.100.147201
- 13. *Bordet P. et al.* Magnetic frustration on a Kagomé lattice in R3Ga 5SiO14 langasites with R ≤ Nd, Pr // J. Phys. Condens. Matter. 2006. V. 18. № 22. P. 5147–5153. https://doi.org/10.1088/0953-8984/18/22/014
- 14. *Simonet V. et al.* Hidden magnetic frustration by quantum relaxation in anisotropic Nd langasite // Phys. Rev. Lett. 2008. V. 100. № 23. P. 1–4. https://doi.org/10.1103/PhysRevLett.100.237204
- 15. *Robert J. et al.* Spin-Liquid Correlations in the Nd-Langasite Anisotropic Kagomé Antiferromagnet // Phys. Rev. Lett. 2006. V. 96. № 19. P. 197205. https://doi.org/10.1103/PhysRevLett.96.197205
- 16. *Zorko A. et al.* Ground State of the easy-axis rareearth kagome langasite Pr3Ga5SiO14 // Phys. Rev. Lett. 2010. V. 104. № 5. P. 3–6. https://doi.org/10.1103/PhysRevLett.104.057202
- 17. Weymann L. et al. Unusual magnetoelectric effect in paramagnetic rare-earth langasite // npj Quantum Mater. 2020. V. 5. № 1. P. 61. https://doi.org/10.1038/s41535-020-00263-9
- 18. Звездин А.К., Матвеев В.М., Мухин А.А., Попов А.И. Редкоземельные ионы в магнитно упорядоченных кристаллах. М.: Наука, Гл. ред. физ.-мат. лит-ры, 1985. 296 с.

## EFFECT OF RARE-EARTH ION LOCAL ANISOTROPY ON MACROSCOPIC MAGNETIC PROPERTIES OF (La<sub>0.985</sub>Ho<sub>0.015</sub>)<sub>3</sub>Ga<sub>5</sub>SiO<sub>14</sub> LAGNASITE

A. Yu. Tikhanovskii<sup>a</sup>, V. Yu. Ivanov<sup>a</sup>, A. M. Kuzmenko<sup>a</sup>, A. A. Mukhin<sup>a</sup>

<sup>a</sup>Prokhorov General Physics Institute of the Russian Academy of Sciences, Moscow, Russia Presented by Academician of the RAS I.A. Shcherbakov

Experimental and theoretical studies of the magnetic properties of the unique Ising-like paramagnet  $(La_{0.985}Ho_{0.015})_3Ga_5SiO_{14}$  have been carried out. We found magnetic anisotropy in strong magnetic field (up to 5 T) rotated in the  $ab^*$ ,  $b^*c$  and ac planes at low temperatures ( $T \le 5K$ ). We show that the observed magnetization features are connected with the local orientation and distribution of the Ho<sup>3+</sup> Ising axes, which may deviate from the symmetry-allowed directions due to Ga/Si random filling in the local environment of the magnetic ions.

Keywords: rare-earth langasite, Ising-like paramagnet, magnetic anisotropy, magnetic properties